

## ПРОДОЛЬНЫЙ УДАР ПО СТЕРЖНЮ ИЗ РЕОНОМНОГО МАТЕРИАЛА

Холодарь Б.Г.

**Введение.** Склерономный подход не позволяют адекватно описать развитие напряженно-деформированного состояния (НДС) при ударных нагрузках, так не учитывает зависимости свойств материала от скорости нагружения. С этих позиций представляет интерес задача о продольном ударе жесткой массой по незакрепленному торцу стержня, рассматриваемая с учетом реологических свойств материала.

**Постановка задачи и анализ результатов.** Для отражения указанных выше особенностей можно использовать уравнение Максвелла

$$\frac{d\varepsilon}{dt} = \frac{d\sigma}{Edt} + \frac{\sigma}{\eta}, \quad (1)$$

где  $\sigma$ ,  $\varepsilon$  – напряжение и деформация;  $t$  – время,  $E$  – модуль упругости;  $\eta$  –  $\eta_0 \exp(\psi(\sigma, \varepsilon, \theta))$  – вязкость материала;  $\eta_0$  – начальная вязкость (константа),  $\psi(\sigma, \varepsilon, \theta)$  – функция, описывающая зависимость энергии активации процессов течения материала от НДС и температуры  $\theta$ . В простейшем случае ее можно принять в виде  $\psi = -\alpha|\sigma|$ . При этом расчетные диаграммы растяжения и сжатия материала при деформировании с постоянной скоростью будут одинаковыми, близкими к диаграмме Прандтля.

Направим ось  $X$  вдоль стержня, поместив начало отсчета на ударяемом торце стержня. Примем обозначения:  $L$  – длина стержня,  $A$  – площадь сечения,  $\rho$  – плотность материала,  $E$  – модуль упругости,  $M$  – масса ударяющего груза,  $V_0$  – скорость груза в момент соприкосновения со стержнем. Конец  $x=L$  считаем зашпеленным.

Кратко отметим особенности поведения идеально-упругой системы.

В безынерционном стержне напряжения изменяются по закону  $\sigma = \sigma_0 \sqrt{\frac{M}{m}} \text{Sin} kt$ , где  $k^2 = EA/(LM)$ ,  $m = \rho AL$  – масса стержня,  $\sigma_0 = c\rho V_0 = \sqrt{E\rho}V_0$ ,

$c = \sqrt{E/\rho}$  – скорость распространения продольных волн в стержне. Учет инерционных свойств материала стержня можно провести, считая, напри-мер, деформацию во всех точках стержня одинаковой. При этом получим для напряжений выражение

$$\sigma = \sigma_0 \sqrt{\frac{1 + \mu/3}{\mu}} \cdot \text{Sin} \sqrt{\frac{\mu}{1 + \mu/3}} \tau, \quad (2)$$

где  $\mu = m/M$ , а  $\tau = t \frac{c}{L}$  – безразмерное время. Для системы с распределенными параметрами строится волновое решение с помощью разрывных (кусочно-непрерывных) функций [1,2]. Для иллюстрации на рис. 1 приведены кривые  $\sigma(\tau)/\sigma_0$  для нескольких значений параметра  $\mu$ .

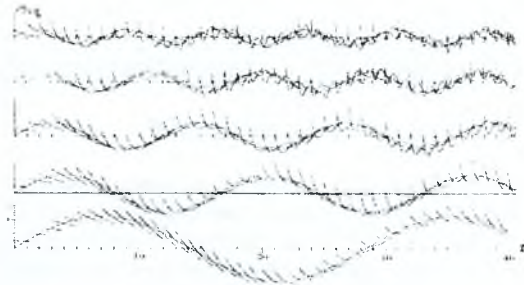


Рисунок 1 – Напряжения на торцах стержня при упругом подходе для  $\mu=0.05, 0.15, 0.30, 0.60, 1.0$  (снизу вверх). Сплошные линии соответствуют (2)

Напряжения на ударяемом торце стержня при  $t=0$  составляют  $\sigma = \sigma_0$  и экспоненциально уменьшаются в течение первого прохода волны по стержню. Форма разрывных кривых определяется отношением масс ударника и стержня  $\mu=m/M$  и трансформируется со временем тем заметнее и быстрее, чем больше это отношение. Максимальные напряжения на торцах имеют место в момент, когда целое число времен прохода волны вдоль стержня совпадает со временем одного из экстремумов на периодической кривой. Наиболее нагруженным оказывается закрепленный торец стержня. Длительность удара зависит только от соотношения масс и не зависит от скорости соударения  $V_0$ . Из графиков на рис.1 видно, что максимум напряжений может реализоваться и за пределом времени до первой смены знака напряжений (момент отскока ударника), так как разрывные кривые с течением времени становятся круче. С ростом  $\mu$  отличия волнового и периодического решений увеличиваются, а общий уровень напряжений падает.

При использовании вместо закона Гука реологического уравнения (1) получим для напряжений дифференциальное уравнение

$$p'' + \chi(1 + \text{abs}(p)) \exp(\text{abs}(p)) p' + \frac{\mu}{1 + \mu/3} p = 0. \quad (3)$$

где  $p = \alpha \sigma$ ,  $\chi = \frac{L\sqrt{E\rho}}{\eta_0}$ , штрихами обозначены производные по безразмерному времени  $\tau$ .

Рассматривая стержень как систему с равномерно-распределенными параметрами, будем иметь уравнения:

$$v_0' = \frac{\mu}{1+E} p_0, \quad p'' + \chi(1 + \text{abs}(p)) \exp(\text{abs}(p)) p' - p'' = 0 \quad (4)$$

где дополнительно к принятому ранее обозначено  $v$  –  $V/c$ ,  $V$  – скорость ударника, индексом “0” отмечены параметры на ударяемом торце стержня,  $p_0'$  – вторая производная по безразмерной продольной координате  $\xi = x/L$ .

Ниже на рис.2 кривыми 1,2 показано изменение напряжений во времени в точках  $x=0$  и  $x=L$ . На этих же рисунках кривыми 3,4 показаны напряжения и поглощенная энергия, построенные по уравнению (3). При вычислениях использованы значения постоянных:  $M=1.0\text{Kg}$ ,  $E=2e11\text{Па}$ ,  $\eta_0=1e11$

$\text{Па}/c$ ,  $\rho=7.8e3\text{Kg}/\text{м}^3$ ,  $d=5e-3\text{м}$ ,  $L=1.0\text{м}$ . Для указанных значений  $M$ ,  $\rho$ ,  $d$  (диаметр стержня) и  $L$  имеем  $\mu \sim 0.153$ .

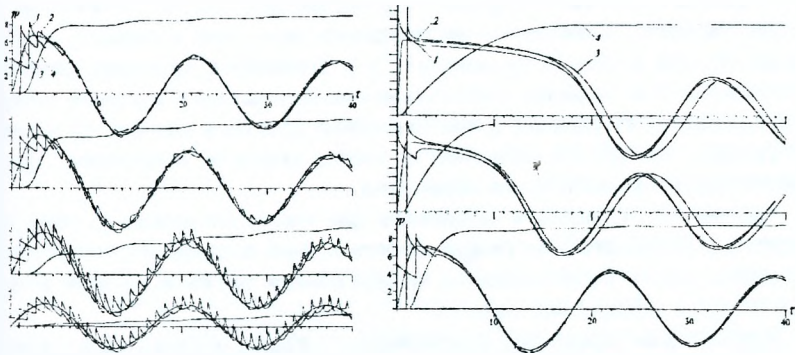


Рисунок 2 — Изменение напряжений (кривая 1— ударяемый торец, 2— закрепленный торец, 3— одномассовое решение) и поглощенная энергия (кривая 4) при скоростях соударения  $V_0=0.5, 1.0, 1.5, 2.0, 2.5, 5.0, 10.0$

При небольших скоростях соударения поведение реономного материала мало отличается от упругого. С ростом  $V_0$  отличия нарастают, — на ударяемом конце стержня пиковые напряжения непосредственно после удара все более отличаются от “идеально-упругого” значения  $\sigma^{max} - \sigma_0$ , длительность спада напряжений увеличивается, процессы отражений от торцов сказываются все в меньшей степени, а решение переходит в квазипериодическое с медленно нарастающим периодом. Эти особенности связаны с тем, что доля энергии, поглощаемая материалом стержня на начальном участке движения, нарастает с ростом скорости соударения  $V_0$ .

По проведенным вычислениям видно, что наличие рассеяния энергии в реальном материале приводит к тому, что максимумы напряжений и деформаций по времени не уходят далее первой четверти периода собственных колебаний системы. При небольших скоростях удара они имеют место на закрепленном торце стержня, но переходят на ударяемый торец с возрастанием  $V_0$ . Как идет процесс перемещения максимума, можно проследить по рис. 2. При уменьшении массы ударника кривые заметно изменяются, поглощение энергии стержнем идет медленнее. В качестве примера на рис. 3 показаны кривые напряжений и деформаций при массе ударника, равной массе стержня (остальные числовые данные приняты, как на рис. 2).

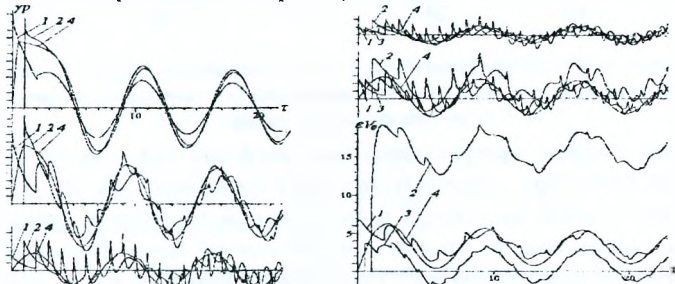


Рисунок 3 — Изменение напряжений ( $V_0=1.0, 5.0, 10.0$ ) и деформаций ( $V_0=5.0, 2.5, 1.0$ ) при  $\mu=1$  (снизу вверх). 1— ударяемый торец, 2— закрепленный торец, 3— середина стержня, 4— одномассовое решение

С ростом скорости соударения  $V_0$  решения по (3) и (4) сближаются, и поэтому становится возможным анализировать поведение материала, используя более простой подход по уравнению (3). К сожалению, сравнивая решения по уравнениям (3) и (4), нельзя сделать однозначного вывода о числовом соответствии одномассового решения с многомассовым хотя бы в одной точке стержня — результаты зависят от координаты точки, скорости соударения, массово-инерционных и реологических параметров.

Независимо от скорости соударения при некотором уровне  $\eta_0$  имеет место переход в аperiodический режим движения, при котором отсутствует отскок ударника (рис.4). Сравнительно с колебательным режимом уровень напряжений падает, а деформаций — растет.

Комплексным параметром, определяющим характер процесса, является величина  $\lambda^2 = \frac{\chi^2(1+\mu/3)}{\mu} = \frac{(1+\mu/3)LEM}{An_0^2}$ . Значение  $\lambda \sim 2$  может быть использовано для предварительного назначения условий проведения соответствующих технологических операций. Рассматривая  $(1+\mu/3)$  как поправку, можно сказать, что переход к аperiodическому режиму зависит от параметра  $\frac{LEM}{An_0^2}$ . Начальная вязкость  $\eta_0$  экспоненциально зависит от абсолютной температуры, поэтому именно она и определяет характер поведения материала. Однако аналогичного результата можно добиться и путем изменения массы ударника — абсолютно неупругий удар гарантировано будет иметь место при условии  $M > 2 \frac{An_0^2}{LF}$  или  $mM \geq (2 \frac{\eta_0}{c})^2$ .

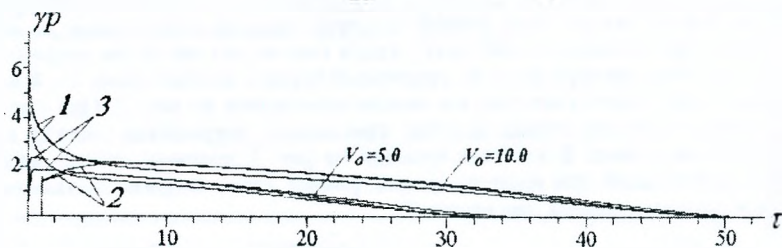


Рисунок 4 — Изменение напряжений в стержне при аperiodическом режиме для случая  $\mu \sim 0.306$  ( $L=2.0$ ). 1—ударяемый торец, 2—закрепленный торец, 3—одномассовое решение

На рис.5 показано распределение максимальных деформаций вдоль оси стержня для  $T=20$ . При невысоких скоростях соударения для обоих режимов характерным является достаточно равномерное распределение деформаций с некоторым повышением их уровня к закрепленному торцу. С ростом  $V_0$  уровень деформаций возле ударяемого торца быстро нарастает как по абсолютной величине, так и относительно уровня деформаций противоположного конца стержня.

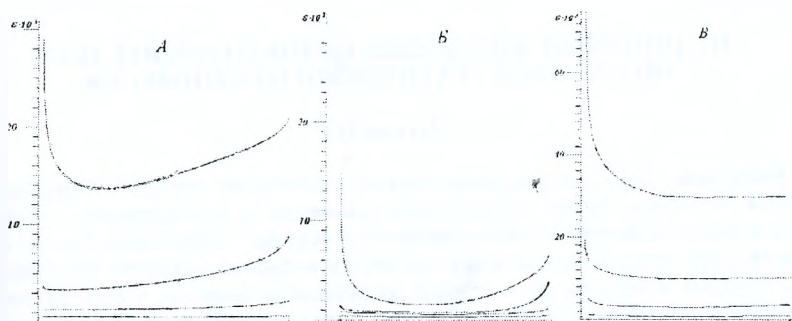


Рисунок 5 – Распределение деформаций вдоль стержня при  $V_0=1.0, 2.5, 5.0, 10.0$  (снизу вверх). Расчетные параметры: А –  $\mu=0.153$ , Б –  $\mu=1.0$ , В –  $\mu=0.306$ ; А, Б –  $\eta_0=1e11$ ; В –  $\eta_0=1e8$  (апериодический режим)

Графики  $\varepsilon(\xi)$  дают представление и о характере формоизменения стержня, так как с учетом равенства нулю объемной пластической деформации имеем выражение для радиального перемещения точек поверхности стержня в виде

$$u = \frac{d}{4} \varepsilon \frac{\sigma}{E} (1 - 2\mu).$$

На рис.6 приведены графики коэффициента восстановления  $k_v = |V_k/V_0|$ , где  $V_k$  – скорость ударника в момент смены знака напряжений на ударяемом торце стержня. Как видим, учет инерционных свойств материала по многомассовой модели дает существенное отличие от одномассового подхода – коэффициент восстановления ограничен сверху некоторым уровнем, зависящим от соотношения масс стержня и ударника. С уменьшением вязкости материала этот предельный уровень также уменьшается.

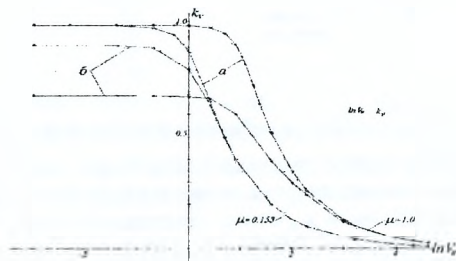


Рисунок 6 – Зависимость коэффициента восстановления от скорости соударения (а – одномассовая, б – многомассовая модель)

**Заключение.** Уравнение Максвелла с нелинейной вязкостью позволяет адекватно описать поведение реального упруго-пластического материала при ударе и может быть использовано для построения прогноза поведения такого материала при интенсивных динамических нагрузках.

#### Список цитированных источников

1. Лурье, А.И. Операционное исчисление и его приложение к задачам механики / ГИТТЛ. – М.-Л., 1951. – 432 с.
2. Кильчевский, Н.А. Динамическое контактное сжатие твердых тел. Удар. – Киев: Наукова думка, 1975. – 319 с.